ГИДРАВЛИКА

VJK 532,57

А. Л. ГУРГЕНЯН

АКУСТИЧЕСКИЙ ИНТЕРФЕРОМЕТР ФАБРИ-ПЕРО С НЕПРОВОДЯЩЕЙ ЖИДКОСТЬЮ С ПУЗЫРЬКАМИ ГАЗА В ЭЛЕКТРИЧЕСКОМ ПОЛЕ

Рассматринается ладача о распространении пучков в электропроводящей жидкости с пузырьками газа в электрическом поле Выведены уравнения коротких воли, которые в отличие от оптики, в акустических задачах независимы. Для равных и симметричных экустических зервал получены уравнения модуляций и найдены их решения в виде Гауссовых пучков. По найденным разности фаз определяется пропускная способность акустического интерферометра Фабри-Перо. Получены огравичения для амплитуд начальных пучков, при котором имеет место явление бистабильности.

Ил. 2. Библиогр. 6 назв.

Ուսումնասիրվում է Հանդիպակաց գննջներ տարածման խնդիր- ցազի պղաչակներ պաբունակող էլնկտրաժաղորդիլ հնղուկում, որը գտնվում է փնչերի առանցքով ուղղված արական դայտում, Դրված են կարճ ալիքների հավասարումները, որոնց ի տարբերություն օպտիկայի, ձայնագիտական խնդիրներում իրաքից անկախ են։ Հավասար և համալափ փրնբնրը անդրադարձնող հայելիների համար ստացված են ժողուլյացիայի հավասարումները և
դտնված են նրանց լուժումները Գասւսյան փնջերի տեսքով։ Ըստ դտնված փուլերի տարբեբության առաջարկվուս է ստեղծել ձայնագիտական ինաձրֆերոմետը և որոշվում է նրա թոզարկման գործակիցը։ Սկզբնական փնչերի ամպլիտուդների համար ստացված են սահմանափակումներ, որոնց դնպչում տեղի ունի նրկհաստատունության էրնույթը,

В настоящее время большое янимание уделяется взаимодействию нелинейных полн в связи с созданием акустических приборов для генерации и излучения мощных волновых пучков. Особенно интересны резонаторы, в которых происходит взаимодействие пучков. Подобные устройства, имеющие многоволновой характер, изучаются в акустике и онтике, где нелинейность принодит к явлению бистабильности, имеющему важное значение для практики.

В настоящей работе исследуется влияние электрического поля на волновые движения непроводящей жидкости с пузырьками газа, находящимися в осевом электрическом поле при наличии встречных пучков. При этом наличие пузырьков приволит к диуперсии скорости звука и позволяет применять метод медленно-меняющихся амплитул так, как было еделано в оптике [1]. Проводящая жидкость оказывается хорошим средством для усиления модуляций пучков и биста бильности, т. с. наличие скачка частоты происходит при весьма небольших амплитудах ультразвуковых воля, входящих и резонатор.

Как показано [2, 3], для инализа пелинейных воли в акустическом резонаторе, используя метолы медленно изменяющегося профиля и усреднения ураниений, для быстроперсодических колебаний можно представить колебания и виде суперпозиции двух встречных воли, причем, в первом порядке можно считать уравнения пучков пезависимыми. Уравнения для встречных пучков берутся в форме уравнения коротеих воли [4, 5].

Полагая, что проекция возмущенной скорости частицы на ось пучков: $u = u_1(t_1, y, t) = u_2(t_2, y, t)$, где $t_{1,2}$ каналы пучков, причем $(\pm x \pm t) H_1 + t$, $y = \text{координата по нормали к оси пучка, идоль которого направлена ось <math>x$ (отечет x ведется от середины резонатора, $x = \pm t$ кооординаты акустических зеркал). H_1 - линейная скорость распространения волны, вышеуказанные уравнения для однородной среды можно записать в виде $\{4, 5\}$.

$$\frac{\partial^{2} u_{1,2}}{\partial t \partial \tau_{1,2}} = \frac{1}{2} L \left(u_{1,2} \right) = -\frac{1}{H_{1}} \frac{\partial}{\partial \tau_{1,2}} \times \left\{ \Gamma u_{1,2} \frac{\partial u_{1,2}}{\partial \tau_{1,2}} + D \frac{\partial u_{1,2}}{\partial \tau_{2,2}} + D \frac{\partial u_{1,2}}{\partial \tau_{2,2}} \right\}$$
(1)

Здесь Г. D. Е. коэффициенты пединейности, диссипации и дисперсии, а L(u) даст оператор по поперечным координатам, причем при электрическом поле, направленном по оси x, имеет место симметрия

$$L(u) = \frac{1}{\pi} \frac{\partial^2 x_1}{\partial x_2} \left(\frac{\partial}{\partial y^2} + \frac{k}{y} \frac{\partial}{\partial y} \right) \tag{2}$$

сде y радиальная координата в задаче с осевой симметряей k=1 или декартова координата для илоской задачи k=0, α —частота чевозмущенной волны, $(\alpha\alpha_1, \alpha\alpha_2)$ —волновые векторы, которые в силу того, что ось лучка совнадает в осью x и волны близки к плоским, имеют координаты $x_1 = 1$ $x_2 \approx 0$:

Система уравнений, описывающая движение поляризующей среды в односкоростном приближении и с учетом того, что диэлектрическая проницаемость среды зависит только от плотности, можно записать в виде [5, 6]

$$\frac{d\rho}{dt} + \rho \nabla \overline{v} = 0, \quad \rho \frac{dv}{dt} = -\nabla \rho + \rho \nabla \left(\frac{\partial \varepsilon}{\partial \rho} \frac{E^2}{8\pi}\right), \quad \text{fot } E = 0,$$

$$\nabla (\varepsilon E) = 0, \quad \rho = \rho \cdot (1 - 8), \quad \frac{1}{2} = \text{const}, \quad \rho_{\varepsilon}^{-n} R^2 = \text{const}, \quad (3)$$

$$\rho_{\kappa} = \rho - \frac{E^2}{8\pi} \frac{\partial \varepsilon}{\partial s} + \epsilon_{\kappa} R \frac{d^4 R}{dt^2} + \epsilon_{f} \frac{4\nu}{R} \frac{dR}{dt} + \frac{3}{2} \rho_{f} \left(\frac{dR}{dt}\right)^2$$

где n—показатель адпабаты для пузырьков, р—плотность смеси, р—давление, ϵ —даэлектрическая проницаемость, E—напряженность электрического поля, R и β —радиус и концентрация пузырьков, ρ_ℓ и ρ_κ —плотности жидкости носителя в газового пузырька.

Чтобы конкретизировать коэффициенты в (1) для данной среды, следует рассматривать характеристики уравнений (3). Как и в [4, 6], заменяя в уравнении (3) $\partial_t \partial_t t \to -x\delta$, $\partial_t \partial x_k + n_s\delta$, $k = c_n + v_n - \text{скорость распространения волны по нормали, <math>n_k - \text{единичный вектор нормали к волне, } \delta - \text{скачок производных по нормали к волне, } v_n - \text{нормальная скорость частицы, можно получить}$

$$\Gamma = \gamma + 1 = \frac{a_0}{H_1} \alpha^0 - \frac{2 - \beta_0}{2H_1^2} \frac{E^*}{8\pi \nu_e} \left[\frac{\partial^2 e_0}{\partial \beta_0} - (2 - \beta_0) \frac{\partial^2 e_0}{\partial \beta_0} - \frac{2}{\epsilon_0} \left(\frac{\partial^2 e_0}{\partial \beta_0} \right)^2 + 6 \left(2 - \beta_0 \right) \frac{1}{\epsilon_0} \frac{\partial^2 e_0}{\partial \beta_0} \left(\frac{\partial^2 e_0}{\partial \beta_0^2} - \frac{1}{\epsilon_0} \frac{\partial^2 e_0}{\partial \beta_0} \right) \right],$$

$$D = -\frac{2}{3\beta_0 \left(1 - \beta_0 \right) H_1}, \qquad E = \frac{R^3}{6\beta_0 \left(1 - \beta_0 \right) H_1}, \qquad z = \frac{1}{\beta_0}.$$
(4)

В дальнейшем изучаются волны, которые мало отличаются от плоской, имеющей при f=0 уравнений x=0 и для простоты выбирается начальное электрическое поле по оси, т. е. $E_{y_0}=E_{z_0}=0$, $E_{x_0}=E_0$. Тогда коэффициенты (4) упрощаются.

Для узких пучков квазимонохроматических волн решение (1) можно искать в виде

$$u_{1,2} = \frac{1}{2} \left\{ u_{1,2}^{(0)} + u_{1,2}^{(1)} e^{\frac{10}{1.2} - v_2^2 t} + u_{1,2}^{(2)} e^{\frac{2t h_{1,2} - 2v_2^2 t}{2}} + tc \right\}$$
 (5)

н получить уравнения для гармоник $u_{1,2}$ которые после подстановки $u_{1,2} = 0$ принимают одинаковые по форме уравнения для обоих пучков, решение которых можно записать в виде [4, 5]

$$a = \frac{b}{f(\tau)} \exp(-y^2 y^2 f^2), \qquad \tau = \tau(\tau) + \frac{1}{2R_0(\tau)} y^3,$$

$$\tau' = \frac{-|x| + f}{H_1}, \qquad K = \text{const.}$$
(6)

В приближении узких пучков для случая осевой симметрии в главном порядке для безразмерной ширины пучка получается

$$\frac{d^{3} f}{d^{2}} = \frac{1}{f^{3}} \qquad \frac{4 K^{2} \mu}{2} \gamma_{1} + 4 k^{2} \mu^{2}, \qquad 1 = \frac{\Gamma^{2} \alpha \exp(-2v x^{2} t)}{8 H_{1} (9 E^{2} x^{4} + v^{2} H_{1}^{2})},$$

$$\gamma = \frac{d^{2} \gamma_{1}}{\partial x_{2}^{2}}, \qquad \mu = \frac{H_{1}^{2}}{\alpha^{2} y_{0}^{2}}, \qquad 3 E^{2}, \qquad Z_{3} = -v^{2} H_{1}^{2}.$$

$$(7)$$

Решение (?) при граничных данных $\tau=0$, f=1 записываем в следующем форме:

$$-\tilde{z} = \frac{V C' f^2 - \tilde{z}}{C'} \frac{V C' - \tilde{z}}{C'},$$

$$C' - \left(\frac{1}{R_a^2} \frac{H_1^2}{z^3} \lambda + \frac{\chi^2 K^2}{H_1^2 z^2}\right)^{\frac{1}{2}} + \tilde{z}.$$
(8.)

Из полученного решения и (7) видно, что фокус f=0 будет при <0, а последнее возможно при <0 и в предложении, что первое слагаемое в = или нелинейность больше дифракции. Схождение пучка также будет при <0, $=\frac{1}{R^2}<0$, но фокус не получится.

Решение уравнения пучков для (1) вмеет вид

$$\frac{dz}{dz} = \frac{2}{a^2a_1 f^2 y_0^2} \frac{\partial^2 a_1}{\partial a_2^2} - \frac{y_2 K^2}{f^2}.$$
 (9)

Допустим, что дифракция больше, чем нелинейность, тогда кривизна кривой $f(\tau)$ больше нуля и имеется для пучков фокальное пятно

$$J_{\Phi,n}^2 = \frac{\overline{\xi}}{C}, \qquad z_{\Phi,n} = \sqrt{\frac{C - \overline{\xi}}{C'}}. \tag{10}$$

Для того, чтобы имелся гладкий переход пучков при x=0, значения $\tau_{\phi,n}$ для них должны совпадать, откуда следует

$$f = \frac{1}{C} - x^{2} \frac{C' \cdot x^{2}}{H_{1}} \qquad f^{2} = \frac{\xi}{C}$$
 (11)

Используя (11), решение уравнения (9) можно записать в виде при

$$\frac{1}{2}(z_1 - z_2) = -\frac{z}{H_1}I - \frac{z}{4}\frac{2A}{H_1f_2}V\tilde{z}H_1^2C^{2}x^2$$
 (12)

Следуя работе [1], где рассмотрена круговая поляризация для авуковой волны, имеющей почти линейную поляризацию по оси $x(v \parallel x)$, можно вычислить коэффициент пропускной способности нитерферометра Фабри-Перо, используя значение разности фаз (12) и определение коэффициента пропускной способности интерферометра Фабри-Перо

$$p = \frac{|U_1|^2 (1-R)}{|K_0|^2} \,. \tag{13}$$

Используя (12) и свойства конфокальных зеркал, можно получить

$$F(x') = -\frac{4R}{(1-R)^3} \sin^3(4-F(x')) [-1, 2 - \frac{2\pi l}{H_3}],$$

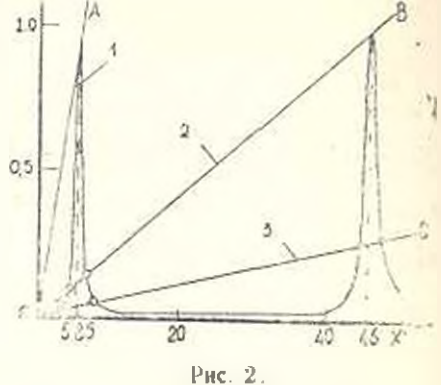
$$F(x') = -\frac{\pi}{4} \frac{2 + x'}{\frac{1}{2} \frac{1+x'}{1+x'}} = -\frac{\gamma_1 K^2}{\frac{2\pi l}{2} \frac{1}{2}} = -R = iU_1.$$
(14)

Уравнения (13) и (14) для с петветие значения для x .

Ход пучков указан на рис. 1, где принято >0, что выполнено для сред $\lambda < 0$, например, для электропроводящей жикости с пузыры-ками газа. При выполненных со-

отношениях нет фокусировки и 10 обеслечена равномерная работа интерферометов.

PHC. 1.



При больших K_0 левая часть (14), являющаяся прямой линией (рис. 2), имеет несколько пересечений с функцией, получаемой правой частью, что приводит к возможным многим амплитудам в интерферометре, приводя к ноявлению бистабильности [1]. Для выяснения влияния электрического поля на явления бистабильности напишем x' в развернутой форме

$$x' = \frac{(1 - \beta_0)(\xi_2 - 1)}{4\beta_0 R_0^2} K^2,$$
 (15)

где введены обозначения: $\mathbb{E}_{a} = a_1^2 \ a_2^3$, $a_1^2 = E_0^2 4 \mathbb{E}_0^2$.

Из (14) и (15) следует, что при $\xi_1 > 1$, x' < 1 и для K получается меньшее значение при увеличении напряженности электрического поля, т. с. электрическое поле усиливает бистабильность интерферометра.

Таким образом, как и в [1], можно с помощью акустических зеркал, между которыми находится проводящая жидкость с пузырьками газа, получить прибор для преобразования частот и ограничения мощности.

ЯИТЕРАТУРА

- Marhunger J. H., Felber F. S. Theory of a lossless nonlinear Pabry-Perol interferometer. Phys. Rev. 1978. A, vol. 17, № 1. P. 336—342.
- Hunter J. K., Keller J. B. Weakly non-linear high frequeancy waves Comm. Pure Appl. Math. = 1983. = № 2, 36. = P. 547=563.
- Choquet-Bruhat V. Ondes asymptotique et approchées pour systèmes d'equations aux dérivées partielles nonlinear, (1. Math. Pures et Appl. 1969. 48. P. 117—158.
- Багдоев А. Петросян Л. Г. Распространение воли в мякрополярной электропроводящей жидкости // Изв. АН. АрмССР. Сер. Мех.—1983.—Т. 36, № 5—С. 3—16.
- Багдоев А. Г., Гургеням А. А. Распространение воли я непроводящей магнитной жидкости // Магнитная тидродинамика,—1986.—№ 3.—С. 9—13.
- 6. Гогосов В. В., Налетова В. А., Шапошникова Г. А. Диффузионная и многискоростиям модели двухфазимих сред в электрическом поле // ПММ —1980 — Т. 44, вып. 2.—С. 5—20

ЕрНИ

5. IV. 1990